

2. 弾性理論 アーチは圓形等厚とし、岩盤接觸面は理論上半径方向とする。極座標 r, φ における應力函数の一般形は對稱軸を原線にとると

$$F = a_0 \log r + b_0 r^2 + c_0 r^2 \log r + (a_1 r^3 + b_1 r^{-1} + c_1 r \log r) \cos \varphi \\ + \sum_{n=2}^{\infty} (a_n r^n + b_n r^{n+2} + c_n r^{-n} + d_n r^{-n+2}) \cos n\varphi \quad \dots \dots \dots (1)$$

この應力函数から得られる應力3成分の式も同様に第1項は φ に無關係な項、第2項は $\cos \varphi$ (又は $\sin \varphi$)を含む項、第3項は $\cos n\varphi$ (又は $\sin n\varphi$)を含む一般項からなる。

上下流面における條件は次のようである。

$$\left. \begin{array}{l} (\sigma r)_{r=r_2} = -p, \quad (\tau r\varphi)_{r=r_2} = 0 \\ (\sigma r)_{r=r_1} = 0, \quad (\tau r\varphi)_{r=r_1} = 0 \end{array} \right\} \dots \dots \dots (2)$$

但し、 r_2, r_1 はそれぞれ上下流半径であり、一カは等分布荷重である。

式(2)の條件を式(1)に適用して未定係数の關係を求める場合に、第1, 2項はそれぞれ未定係数が1つずつ残るけれども、 $\cos n\varphi$ (又は $\sin n\varphi$)の項はすべて0になってしまふ。兩端における岩盤の境界條件を満足させるためには $\cos n\varphi$ (又は $\sin n\varphi$)の項を生かしたい。そこで、 n も未定係数であるとみなすこととすれば式(2)を満足するような n の値を求ることにより、所期の目的を達することができる。このような n の條件式は次のようになる。

$$(r_2/r_1)^n - (r_1/r_2)^n = n(r_2/r_1 - r_1/r_2) \dots \dots \dots (3)$$

式(3)を満足する n の値は一般に複素數である。これから得られるアーチ端の應力成分 $\sigma\varphi, \tau r\varphi$ は次のよう形をとる。

$$\left. \begin{array}{l} (\sigma\varphi)_{\varphi=\alpha} = Af_1(r) + Bf_2(r)\cos x + \sum_{m=1}^{\infty} C_{m1}f_3(r) + \sum_{m=2}^{\infty} C_{m2}f_4(r) \\ (\tau r\varphi)_{\varphi=\alpha} = Bg_2(r)\sin \alpha + \sum_{m=1}^{\infty} C_{m1}g_3(r) + \sum_{m=2}^{\infty} C_{m2}g_4(r) \end{array} \right\} \dots \dots \dots (4)$$

$f_i(r), g_i(r)$ 等は r の函数であり、 A, B, C_{m1}, C_{m2} 等は未定係数である。 C_{m1}, C_{m2} は $\cos n\varphi$ (又は $\sin n\varphi$)の項の實部、虛部を分離して得られる2組の項の未定係数である。

岩盤面を半無限彈性體とみなして、この表面に式(4)で表わされる應力成分が作用するときの岩盤面の變位成分とアーチ端における變位成分が接觸面上において等しくなるように、級數式(4)の未定係数 A, B, C 等を決定することは可能である。本研究はこのようにして得られる解を求め、某地點に設計したアーチダムに適用して應力狀態を調べたものである。

50. 地震時動水壓に関する模型實驗 (20分)

正員 東京電力株式會社 畑野正

水槽の1つの鉛直壁を左右動させ、これによつて生ずる動水壓と水面に生ずる波形を觀測し、著者の理論と照合したものである。

51. 揚壓力に関する研究 (20分)

准員 京都大學工學部 丹羽義次

揚壓力が堰堤の安定に悪影響を及ぼすことは周知のところである。それゆえこれに作用する揚壓力を適確に究明して、その設計の合理化を計らねばならぬ。既に幾多の理論計算、模型實驗、實測が行われてきた。しかしながら揚壓力の本質についてはいまだ決定的な結論が得られていないようであり、今後の詳細な研究にまたねばならない。本研究においては揚壓力が堤底にのみ作用し、その全面積にわたり作用するものと假定している。

1. 理論的考察 堤堤基礎が均一な透水係數を有する場合について既に多數の研究者が數學的解析を行つてい

る。いざれも z 平面上の堰堤基礎图形を w 平面上の w 平面を介してボテンシャル平面である w 平面上に寫像して、堤底に作用する揚圧力を求めている。ここでも同様の方法により Schwartz-Christoffel の寫像を行い、これに Darcy の法則を適用して若干の數値計算を行つた。図-1, 2 は計算結果の 1 例である。

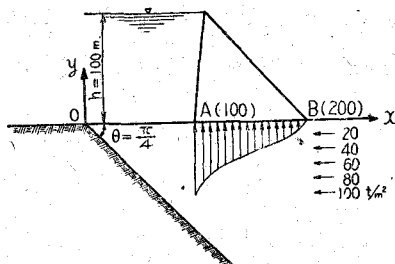


図-1

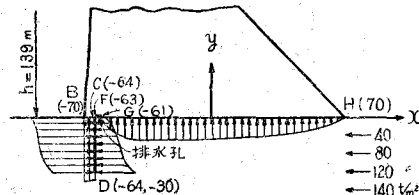


図-2

2. 實驗的考察 さきに述べた滲透水流の電氣的計測法¹⁾によつて各種の地層状態、堤體構造に對して堤底に作用する揚圧力を測定し、堤底全面に全水圧が作用した場合を 100 % として、各場合の總揚圧力の百分率を算出した。すなわちこの値を 2 倍すれば、揚圧力が三角形分布をなすと假定した場合の「揚壓係数」が得られるわけである。勿論實験より明らかに揚圧力はいかなる場合にも三角形分布を示さないが、設計々算を簡化するためにい

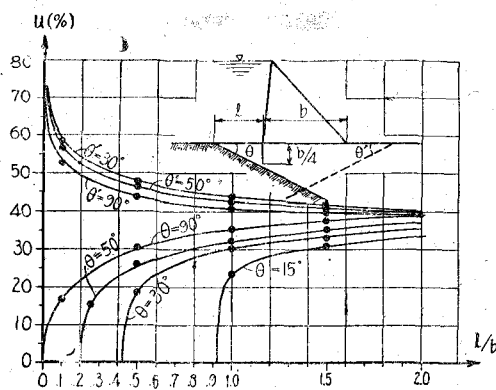


図-3

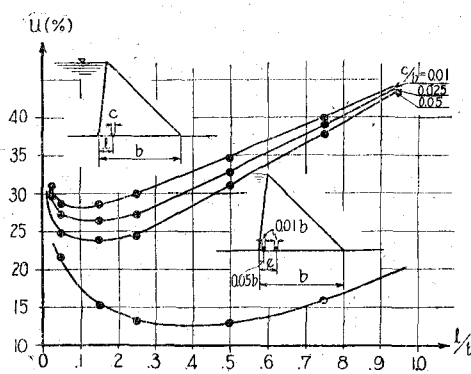


図-4

わゆる「揚壓係数」を適用するならば、地層状態、堤體構造を考慮してここに述べたようにしてその値を決定すれば、若干でも合理的であるようと思われる。次に 2, 3 の實験結果を掲げる。これらの結果より傾斜地層の影響、グラウト壁、掘込み基礎、排水孔設置の効果等が明らかになるが、實験結果の詳細な考察は紙数の關係上後日に譲りたい。

1) 丹羽義次「滲透水流の電氣的計測について」土木學會誌、昭 25, 35 卷, 7 號, 18 頁。

52. 流入損失落差の實驗的研究 (20分)

正員 早稻田大學理工學部 米屋秀三

開水路の流入損失落差を調らべる目的で、巾 1 m の水路に巾 20 cm 深さ 20 cm の小水路を接續して實験を行つた。入口の形狀は角型とし流量 7.8 l/sec 水深 10 cm と流量 30.8 l/sec 水深 20 cm の 2 種類について、入口縮流部の水面勾配、流速並びに水壓分布を測り、又流線の形狀を調べた。

流量の少い場合は既に知られている管路の實驗成績とほぼ同じ縮流形狀並びに損失落差を示し、流量の多い場合は縮流部に射流を生じ、これが跳水する結果、損失落差の急激に増加することがわかつた。

最後に運動並びに連續の基本式から解析して上記の實驗成績と比較検討した。